



VII Congresso Brasileiro de Pontes e Estruturas

21, 22 e 23 de
maio de 2014
RIO DE JANEIRO

COMEMORANDO 40 ANOS DA PONTE RIO NITEROI

Realização:



Análise de Fadiga em Estrutura de Fundação de Torre de Turbina Eólica

Marco Antônio Ribeiro¹, Silvio de Souza Lima², Sergio Hampshire de C. Santos³

(1) Eng. Civil, Mestre, Programa de Projeto de Estruturas, UFRJ/

marco.ribeiro@consorcioipojuca.com.br

(2) Professor Associado (D.Sc.)/ UFRJ/ Departamento de Estruturas/ sdesouzarlima@gmail.com

(3) Professor Associado (D.Sc.)/ UFRJ/ Departamento de Estruturas/sergiohampshire@poli.ufrj.br

Resumo

A energia eólica tem sido muito utilizada em todo o mundo atualmente. Em situações que se torna difícil, ou até inviável a instalação de usinas de grande porte, sejam hidrelétricas ou nucleares, a instalação de parques eólicos tem se tornado atrativa por oferecer uma boa contribuição energética. Este trabalho tem por finalidade contribuir com o estudo da fadiga em estruturas de fundação de turbinas eólicas. Apesar da análise de fadiga estar bastante conhecida na verificação de estruturas de pontes e de vigas de pontes rolantes, ainda há pouca experiência nos projetos de aerogeradores. Daí o interesse em estudar e adaptar os conceitos já conhecidos para esse tipo de estrutura. São apresentados dois modelos de estrutura para análise, um com fundação em bloco estaqueado e outro com fundação direta. São verificados o concreto e as armaduras quanto ao efeito da fadiga, conforme a NBR 6118. São avaliados os danos na armadura conforme a regra de Palmgren-Miner, e construída a curva SN para os locais de maiores tensões. São comentados, quanto à validade, conceitos como dano acumulado em zonas elástica e plástica e a denominada de “vida infinita” do aço.

Palavras-chave

Fadiga; Turbina eólica; Concreto; Estruturas de Fundações.

Introdução

As turbinas eólicas disponíveis atualmente no mercado nacional, são de eixo horizontal, com 3 hélices e já fornecidas juntamente com a torre de sustentação, conforme a Figura 1 (a). O projetista da estrutura deverá estudar e projetar somente a fundação, a partir das cargas já definidas pelo fornecedor e em função das condições geotécnicas locais.

A estrutura de fundação, composta pelo bloco, estaqueado ou em fundação direta, e o anel embutido no mesmo, para recebimento da torre, são apresentados muito esquematicamente na Figura 1(b).

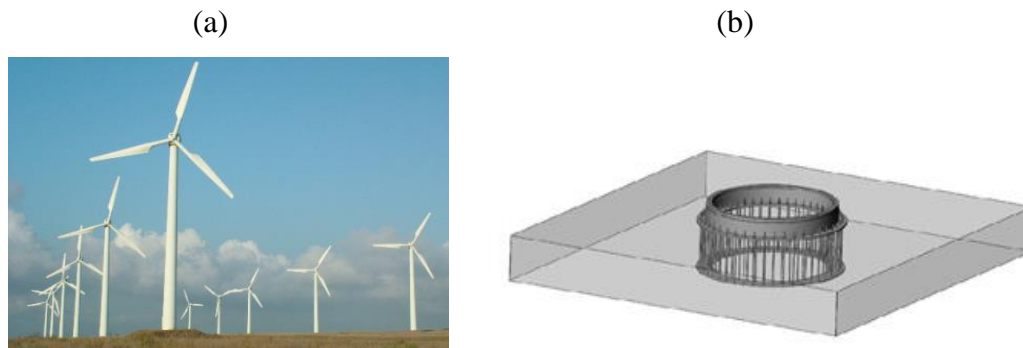


Figura 1 – (a) Turbinas eólicas, (b) Bloco de fundação com anel embutido

Carregamentos

Os carregamentos são geralmente fornecidos pelo fabricante, como cargas pontuais e momentos nos seis graus de liberdade (F_x , F_y , F_z , M_x , M_y , M_z), aplicados no centro de gravidade do anel, conforme a Figura 2.

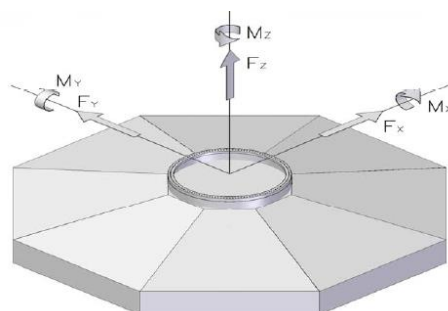


Figura 2 – Aplicação dos carregamentos advindos do conjunto torre-turbina

Na Tabela 1, apresentam-se, para um exemplo hipotético, mas típico neste tipo de estrutura, dezesseis casos de carregamentos no ELU, e na tabela 2, dois casos para o ELS.

Para a análise da resistência à fadiga, na Figura 3, em gráfico similar a um espectro, apresentam-se as variações de carregamentos nos seis graus de liberdade (ΔF_x , ΔF_y , ΔF_z , ΔM_x , ΔM_y , ΔM_z) em função dos ciclos (n° de repetições), em escala logarítmica nos dois eixos, totalizando 6x128 casos de carregamentos. Estes variações foram disponibilizadas também em um arquivo digital.



VII Congresso Brasileiro de Pontes e Estruturas

21, 22 e 23 de maio de 2014
RIO DE JANEIRO

COMEMORANDO 40 ANOS DA PONTE RIO NITEROI

Realização:



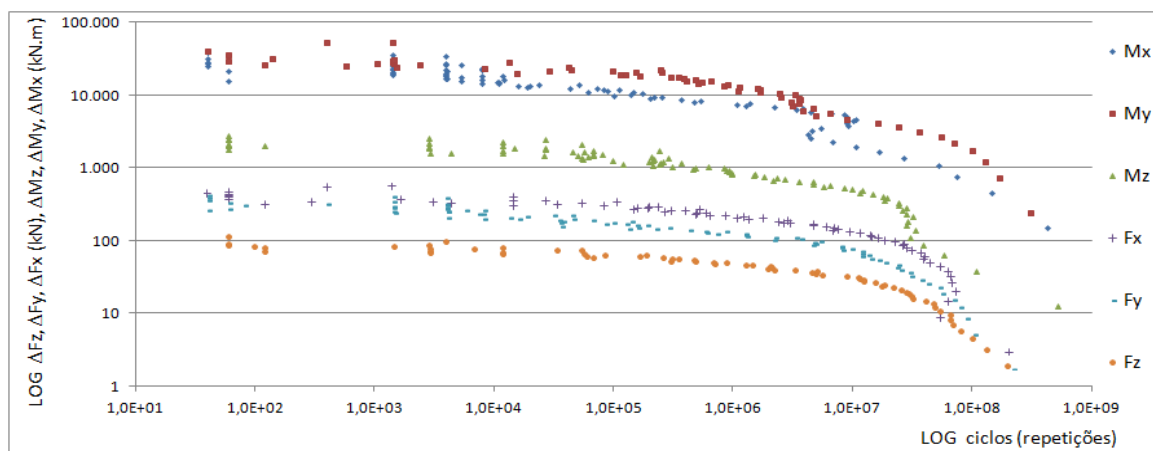
Tabela 1 – Casos de carga no ELU

| | | Load case | Mx [kNm] | My [kNm] | Mxy [kNm] | Mz [kNm] | Fx [kN] | Fy [kN] | Fxy [kN] | Fz [kN] |
|-----|-----|------------|-------------|-------------|--------------|-------------|------------|------------|-------------|------------|
| Mx | MAX | dlc6.2j | 58584 | 4713.9 | 58773 | 843.5 | 157.2 | -771.1 | 786.9 | -3729.2 |
| | MIN | dlc6.2b | -51652 | 5046.0 | 51898 | -892.2 | 154.3 | 668.9 | 686.5 | -3750.3 |
| My | MAX | dlc1.5d_90 | 303.7 | 48896 | 48897 | 267.0 | 554.6 | 10.9 | 554.7 | -3799.2 |
| | MIN | dlc1.5e_00 | 2249.7 | -59252 | 59295 | -666.4 | -606.2 | -12.5 | 606.3 | -3770.0 |
| Mxy | MAX | dlc1.5e_00 | 2249.7 | -59252 | 59295 | -666.4 | -606.2 | -12.5 | 606.3 | -3770.0 |
| | MIN | dlc3.2a | 2.65 | 3.00 | 4.00 | 5.40 | 23.4 | 0.18 | 23.4 | -3787.6 |
| Mz | MAX | dlc2.2da | 9744.3 | 10474 | 14306 | 2893.0 | 143.3 | -99.2 | 174.3 | -3826.1 |
| | MIN | dlc2.2db | -2851.0 | -6636.4 | 7222.9 | -2676.3 | -22.0 | 47.3 | 52.2 | -3729.2 |
| Fx | MAX | dlc6.1b | 2475.1 | 35579 | 35665 | -429.1 | 632.8 | -7.99 | 632.9 | -3653.7 |
| | MIN | dlc1.5e_00 | 3140.2 | -59167 | 59250 | -746.2 | -610.1 | -55.0 | 612.6 | -3773.1 |
| Fy | MAX | dlc6.2d | -49341 | -18271 | 52616 | -682.7 | -253.7 | 685.5 | 730.9 | -3765.5 |
| | MIN | dlc6.2j | 58458 | 6094.2 | 58774 | 844.7 | 174.9 | -771.3 | 790.9 | -3728.9 |
| Fxy | MAX | dlc6.2j | 58173 | 7342.9 | 58634 | 867.3 | 189.7 | -768.9 | 792.0 | -3729.4 |
| | MIN | dlc3.2a | 30.2 | -2271.3 | 2271.5 | 1.41 | -0.049 | -0.14 | 0.15 | -3785.3 |
| Fz | MAX | dlc7.1c_60 | 156.2 | 14886 | 14887 | -549.6 | 272.1 | 17.4 | 272.7 | -3636.4 |
| | MIN | dlc8.1a0d | 1479.9 | 21957 | 22007 | -46.0 | 291.4 | -1.94 | 291.4 | -4316.0 |

Tabela 2 – Casos de carga no ELS

| | | Load case | Mx [kNm] | My [kNm] | Mxy [kNm] | Mz [kNm] | Fx [kN] | Fy [kN] | Fxy [kN] | Fz [kN] |
|-----|-----|-----------|-------------|-------------|--------------|-------------|------------|------------|-------------|------------|
| Mxy | Max | dlc1.0d | 3058.3 | 25356 | 25540 | 111.0 | 278.8 | -23.1 | 279.7 | -3450.0 |
| Fxy | Max | dlc3.1b | 2262.2 | 25340 | 25441 | 148.9 | 291.0 | -14.3 | 291.3 | -3460.4 |

Figura 3 – Variação de carregamentos versus Ciclos, em escala log x log





Modelos

- Modelo 1 (Bloco Estaqueado)

O Modelo 1 considera barras de aço de alta rigidez, recebendo os carregamentos advindos da torre, funcionando como enrijecedores do anel metálico. Este é engastado no bloco de fundação, conforme visto na Figura 4. O bloco é circunscrito em uma área de 17x17m e apresenta 2m de altura. Considera-se $f_{ck}=30$ MPa e estacas com diâmetro $\phi=60$ cm. O modelo é processado no programa SAP2000, no módulo de análise estática **Linear**, para os casos de carregamentos no ELU, ELS e de Fadiga.

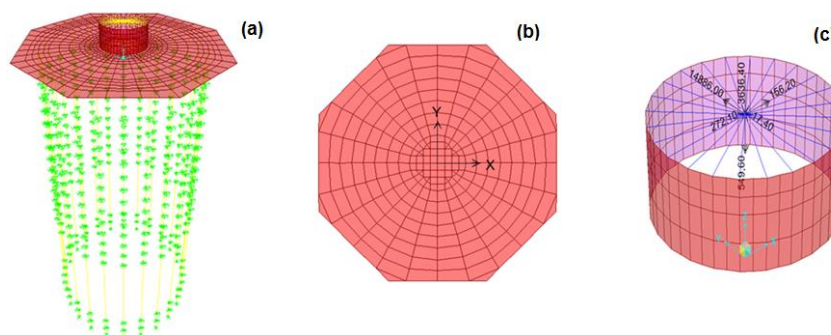


Figura 4 – Modelo Estrutural (a) da fundação, (b) do bloco, e (c) do anel

- Modelo 2 (Sapata)

O Modelo 2 é composto pelo mesmo conjunto de barras com anel descrito para o Modelo 1. A sapata de fundação é quadrada, com 18x18m em planta e 2m de altura, com $f_{ck}=30$ MPa, conforme a Figura 5. Consideram-se molas com distribuição não uniforme de acordo com o método de Santos-Velloso (RIBEIRO, 2014), com conceito diferente da Hipótese de Winkler, de distribuição uniforme das molas. A análise no SAP2000 é estática **Não-Linear**, para os mesmos carregamentos do Modelo 1. A análise não-linear visa verificar o desprendimento das molas verticais, simulando o possível descolamento do solo quando tracionado.

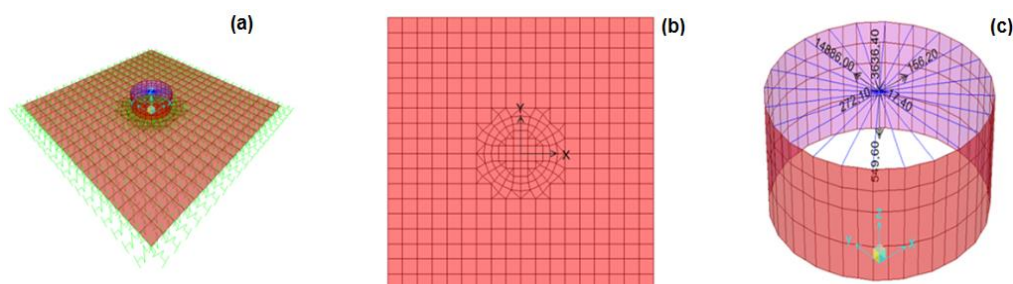


Figura 5 – Modelo Estrutural (a) da fundação, (b) da sapata, e (c) do anel



Considerações sobre as molas do Modelo 2

São consideradas molas simulando a interação solo-estrutura, com uma distribuição não uniforme de acordo com o método Santos-Velloso. Esta considera um conceito diferente da Hipótese de Winkler, em que a distribuição das molas é uniforme na área da fundação.

O método considera o solo como um semi-espaco elástico e homogêneo. O método aplica o conceito de Matriz de Rigidez Condensada do Solo, em que o deslocamento de um ponto qualquer da interface solo-fundação é afetado por tensões presentes em toda a sua vizinhança no solo. É calculado o deslocamento $d_{i,j}$ no nó i,j distante r do nó k,l onde é aplicada uma força unitária, conforme mostra a Figura 6.

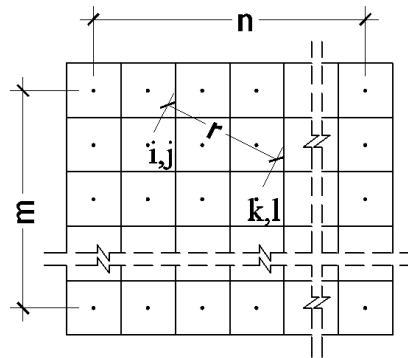


Figura 6 – Malha da interface solo-fundação

Utilizam-se para obtenção dos deslocamentos horizontais a formulação de Cerruti (1a) e para os verticais a de Boussinesq (1b), ambas baseadas na Teoria da Elasticidade. São parâmetros de entrada G (módulo de deformação transversal) e ν (coeficiente de Poisson) do solo.

$$d_{x \ i,j \rightarrow k,l} = \frac{(1-\nu)}{2 \cdot \pi \cdot r \cdot G} \times \left[(1-\nu) + \left(\frac{x^2}{r^2} \cdot \nu \right) \right] \quad (a) \quad \delta_{z \ i,j \rightarrow k,l} = \frac{(1-\nu)}{2 \cdot \pi \cdot r \cdot G} \quad (b) \quad (1)$$

A expressão para d_y é similar à de d_x em 1(a), com y no lugar de x .

Quando $i,j = k,l$ tem-se $r=0$, gerando deslocamentos infinitos. Neste caso usam-se diretamente os valores de rigidez de sapatas rígidas nos sentidos vertical e horizontal, conforme resumido por WOLF (1994). Assim, têm-se deslocamentos unitários em uma área de dimensões a e b :

$$d_x = \frac{2-\nu}{G \cdot b \cdot \left[6,8 \cdot \left(\frac{a}{b} \right)^{0,65} + 2,4 \right]} \quad d_y = \frac{2-\nu}{G \cdot b \cdot \left[6,8 \cdot \left(\frac{a}{b} \right)^{0,65} + 0,8 \cdot \left(\frac{a}{b} \right) + 1,6 \right]} \quad d_z = \frac{1-\nu}{G \cdot b \cdot \left[3,1 \cdot \left(\frac{a}{b} \right)^{0,75} + 1,6 \right]} \quad (2)$$



Assim, é possível a montagem da Matriz de Flexibilidade do Solo, composta pelos deslocamentos causados por forças unitárias nos pontos da interface fundação-solo:

$$\vec{\delta} = \begin{pmatrix} \delta_{1,1} & \delta_{1,2} & \cdots & \delta_{1,n} \\ \delta_{2,1} & \delta_{2,2} & \cdots & \delta_{2,n} \\ \vdots & \vdots & \ddots & \vdots \\ \delta_{n,1} & \delta_{n,2} & \cdots & \delta_{n,n} \end{pmatrix} \quad (3)$$

Invertendo-se a Matriz de Flexibilidade tem-se a Matriz de Rigidez do solo:

$$\vec{K}_{i,j} = \vec{\delta}_{i,j}^{-1} \Leftrightarrow \vec{K}_{i,j} = \begin{pmatrix} K_{1,1} & K_{1,2} & \cdots & K_{1,n} \\ K_{2,1} & K_{2,2} & \cdots & K_{2,n} \\ \vdots & \vdots & \ddots & \vdots \\ K_{n,1} & K_{n,2} & \cdots & K_{n,n} \end{pmatrix} \quad (4)$$

Supondo-se o comportamento da sapata como de corpo rígido e somando-se todos os termos de cada linha da Matriz de Rigidez do solo, tem-se os termos da Matriz de Rigidez Diagonalizada do solo, a ser aplicada na interface solo-fundação:

$$k_{i,i} = \sum_{j=1 \rightarrow n} K_{i,j} \Leftrightarrow k_{i,i} = \begin{pmatrix} k_{1,1} & 0 & \cdots & 0 \\ 0 & k_{2,2} & \cdots & 0 \\ \vdots & \vdots & \ddots & \vdots \\ 0 & 0 & \cdots & k_{n,n} \end{pmatrix} \quad (5)$$

Verificações

- Fadiga no Concreto

Segundo a NBR6118, as verificações de fadiga no concreto podem ser feitas no Estádio II, onde apenas as tensões compressivas são consideradas no concreto. A tensão máxima à compressão é limitada conforme (6). Para o cálculo da seção fissurada no domínio II, obtém-se a posição da linha neutra resolvendo-se a equação de 2º grau em (7) e o momento de inercia é obtido conforme (8). Nas tabelas 3 e 4, é feita a verificação no ELU para os dois modelos.

$$\eta_C \cdot \gamma_f \cdot \sigma_{c,max} < f_{cd,fad} = 0,45 \cdot f_{cd}, \quad \gamma_f = 1,0, \quad \eta_c = \frac{1}{1,5 - 0,5 \cdot \left(\frac{\sigma_{c1}}{|\sigma_{c2}|} \right)}, \quad \sigma_{c1} = \frac{M}{I_{II}} \cdot (x - 0,3); \quad \sigma_{c2} = \frac{M}{I_{II}} \cdot x \quad (6)$$



$$\left(\frac{b}{2}\right) \cdot x^2 + (n \cdot A_s + (n-1) \cdot A'_s) \cdot x + (-n \cdot A_s \cdot d - (n-1) \cdot A'_s \cdot c) = 0 \quad (7)$$

$$I_{II} = \frac{b \cdot x^3}{3} + \frac{b \cdot (h-x)^3}{3} + (n-1) \cdot [A_s \cdot (d-x)^2 + A'_s \cdot (x-d')^2] \quad (8)$$

Tabela 3 – Resistência à Fadiga no concreto para o Modelo 1

| Relação Mod. Elast. | | Seção Positiva → Estádio II | | Seção Negativa → Estádio II | | Fadiga do Concreto | | | | | | | | | | | |
|---------------------|---------|-----------------------------|------|-----------------------------|-------|---------------------------|------|----------------------------|-------|------------------|-------|---------------------|---------------------|----------|--|----|--------------------|
| f_{ck} (MPa) | 25 | b (m) | 1,00 | A (m) | 0,50 | b (m) | 1,00 | A (m) | 0,50 | Esforços Máximos | M (±) | σ_{c2} (MPa) | σ_{c1} (MPa) | η_c | $\eta_c \cdot \gamma_f \cdot \sigma_{c,max}$ (MPa) | < | $f_{cd,fad}$ (MPa) |
| E_c (MPa) | 23.800 | h (m) | 2,00 | B (m ²) | 0,16 | h (m) | 2,00 | B (m ²) | 0,16 | M11(+) MAX | 4453 | 10,13 | 3,13 | 0,74 | 7,53 | Ok | 8,04 |
| E_s (MPa) | 205.000 | c (m) | 0,20 | C (m ³) | -0,16 | c (m) | 0,15 | C (m ³) | -0,17 | M22(+) MAX | 4431 | 10,08 | 3,11 | 0,74 | 7,49 | Ok | 8,04 |
| n (E_s/E_c) | 8,61 | c' (m) | 0,15 | Δ (m ²) | 0,35 | c' (m) | 0,20 | Δ (m ²) | 0,37 | M11(-) MAX | -2732 | 6,09 | 2,01 | 0,75 | 4,56 | Ok | 8,04 |
| | | A_s (cm ²) | 98,0 | x (m) | 0,43 | A_s (cm ²) | 98,0 | x (m) | 0,45 | M22(-) MAX | -2718 | 6,06 | 1,99 | 0,75 | 4,54 | Ok | 8,04 |
| | | A'_s (cm ²) | 98,0 | I_{II} (m ⁴) | 0,19 | A'_s (cm ²) | 98,0 | I_{II} (m ⁴) | 0,20 | | | | | | | | |

Tabela 4 – Resistência a Fadiga no concreto para o Modelo 2

| Relação Mod. Elast. | | Seção Positiva → Estádio II | | Seção Negativa → Estádio II | | Fadiga do Concreto | | | | | | | | | | | |
|---------------------|---------|-----------------------------|------|-----------------------------|-------|---------------------------|------|----------------------------|-------|------------------|-------|---------------------|---------------------|----------|--|----|--------------------|
| f_{ck} (MPa) | 25 | b (m) | 1,00 | A (m) | 0,50 | b (m) | 1,00 | A (m) | 0,50 | Esforços Máximos | M (±) | σ_{c2} (MPa) | σ_{c1} (MPa) | η_c | $\eta_c \cdot \gamma_f \cdot \sigma_{c,max}$ (MPa) | < | $f_{cd,fad}$ (MPa) |
| E_c (MPa) | 23.800 | h (m) | 2,10 | B (m ²) | 0,12 | h (m) | 2,10 | B (m ²) | 0,12 | M11(+) MAX | 4592 | 9,87 | 3,67 | 0,76 | 7,51 | Ok | 8,04 |
| E_s (MPa) | 205.000 | c (m) | 0,15 | C (m ³) | -0,17 | c (m) | 0,20 | C (m ³) | -0,10 | M22(+) MAX | 4548 | 9,77 | 3,63 | 0,76 | 7,44 | Ok | 8,04 |
| n (E_s/E_c) | 8,61 | c' (m) | 0,20 | Δ (m ²) | 0,36 | c' (m) | 0,20 | Δ (m ²) | 0,20 | M11(-) MAX | -2656 | 7,58 | 0,79 | 0,69 | 5,24 | Ok | 8,04 |
| | | A_s (cm ²) | 98,0 | x (m) | 0,48 | A_s (cm ²) | 49,0 | x (m) | 0,33 | M22(-) MAX | -2657 | 7,58 | 0,79 | 0,69 | 5,24 | Ok | 8,04 |
| | | A'_s (cm ²) | 49,0 | I_{II} (m ⁴) | 0,22 | A'_s (cm ²) | 98,0 | I_{II} (m ⁴) | 0,12 | | | | | | | | |

- Fadiga no Aço

A NBR6128 não trata de sistemas em baixo ciclo, com menos de $2 \cdot 10^4$ repetições, e define que qualquer variação de tensão deve ser limitada conforme a expressão (9). A variação máxima de tensão do aço $\Delta\sigma_{sd,fad}$ se encontra na Figura 7a, curva S-N ou de Wölher, para o aço CA-50 em diferentes situações. A curva SN é determinada através de (10) onde: N, k_1 e k_2 encontram-se nas tabelas 23.2 e 23.3 da NBR6118.

$$\gamma_f \cdot \sigma_{Ss} < \Delta\sigma_{sd,fad} \quad \text{onde:} \quad \sigma_{Ss} = \frac{M}{I_{II}} \cdot (d-x) \quad e \quad \gamma_f = 1,0 \quad (9)$$

$$(\Delta\sigma_{sd,fad})^m \cdot N = C^{TE} \quad \text{onde:} \quad m = k_1 \quad \text{ou} \quad m = k_2 \quad (10)$$

- Dano no Aço

A NBR 6118 considera a regra de Palmgren-Miner, que define que mesmo para uma variação de tensão $\Delta\sigma$ abaixo da curva SN, pode haver dano no aço. Este dano é considerado como linear, para um conjunto de pares $\Delta\sigma_i, n_i$, conforme (11) e figura 7(b).



VII Congresso Brasileiro de Pontes e Estruturas

21, 22 e 23 de maio de 2014
RIO DE JANEIRO

Realização:



COMEMORANDO 40 ANOS DA PONTE RIO NITEROI

$$D = \frac{n_1}{N_1} + \frac{n_2}{N_2} + \dots + \frac{n_k}{N_k} < 1,0 \quad (11)$$

$\uparrow \quad \quad \uparrow \quad \quad \uparrow$
 $\sigma_1 \quad \sigma_2 \quad \sigma_k$

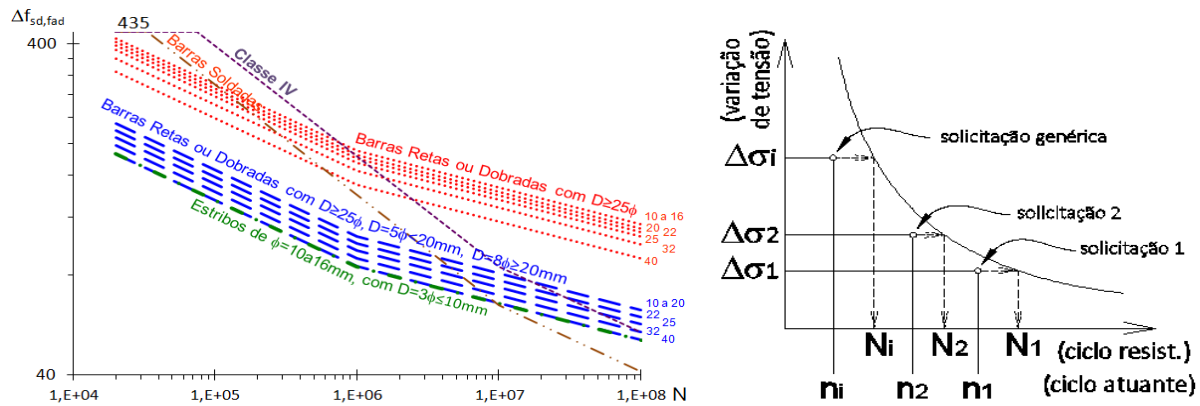


Figura 7 – (a) Curva SN para CA-50, da NBR6118, e (b) Regra do dano acumulado

Abaixo, nas Tabelas 5(a) e 5(b), são apresentados os danos máximos nas diversas armaduras, em função das solicitações atuantes. Por exemplo, na primeira linha, aparece o dano máximo na armadura longitudinal inferior ($A_{s,INF}$), causado pelas variações de tensões, devidas a esforços de flexão no sentido 11 (eixo y), localizado em um determinado elemento finito, em um nó. Assim consecutivamente, até a última linha, onde aparece o dano na armadura transversal ($A_{s,w}$), causado pelas variações de tensões devido os esforços de força cortante. Lembre-se que, para cada nó do elemento finito da fundação analisada, considerou-se um somatório de 6x128 danos, advindo dos diversos carregamentos de fadiga.

Tabela 5 – Danos máximos nas armaduras do (a) Modelo 1, e do (b) Modelo 2

(a)

| Solicitação → Armadura Danificada | Area | Nó | DANO |
|-----------------------------------|------|-----|------|
| M11 → $A_{s,INF}$ | 138 | 139 | 0,46 |
| M11 → $A_{s,SUP}$ | 151 | 131 | 0,38 |
| M22 → $A_{s,INF}$ | 98 | 77 | 0,05 |
| M22 → $A_{s,SUP}$ | 191 | 193 | 0,04 |
| Vmas → $A_{s,w}$ | 121 | 102 | 0,03 |

(b)

| Solicitação → Armadura Danificada | Area | Nó | DANO |
|-----------------------------------|--------|--------|------|
| M11 → $A_{s,INF}$ | 80 | 33 | 0,42 |
| M11 → $A_{s,SUP}$ | 81 | 32 | 0,45 |
| M22 → $A_{s,INF}$ | 60 | 8 | 0,05 |
| M22 → $A_{s,SUP}$ | 102 | 57 | 0,05 |
| Vmas → $A_{s,w}$ | .20.17 | .20.17 | 0,03 |

A seguir, apresentam-se na Figura 8 os danos na armadura longitudinal inferior (A_s), causados pelas variações de tensões devidas aos esforços de flexão M11, em esquemas em planta, para os Modelos 1 e 2. Note que a área colorida, com danos $D > 0,01$, representa menos de 5% da



VII Congresso Brasileiro de Pontes e Estruturas

21, 22 e 23 de maio de 2014
RIO DE JANEIRO

COMEMORANDO 40 ANOS DA PONTE RIO NITEROI

Realização:



área da fundação, nos dois modelos. No ponto onde ocorre o dano máximo na Figura 8 (em vermelho), tem-se o dano acumulado pela ação dos 6x128 carregamentos de fadiga, conforme a Figura 9. Para esse mesmo ponto de dano máximo, têm-se as tensões devidas a M11, ou seja, 6x128 pontos (em vermelho) abaixo da Curva SN (em azul), conforme a Figura 10.

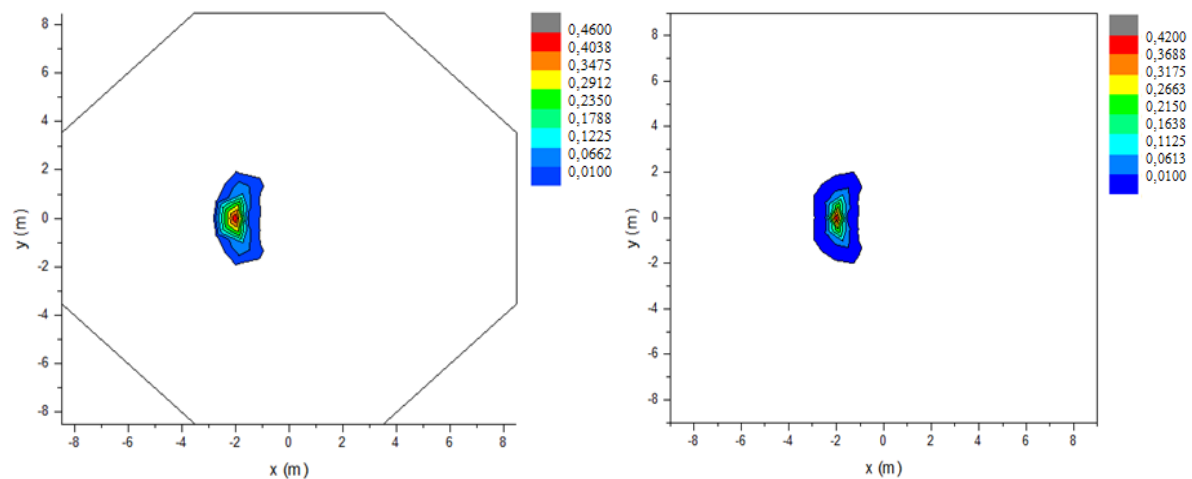


Figura 8 – Dano em As devido M11, (a) no Modelo 1, e (b) no Modelo II

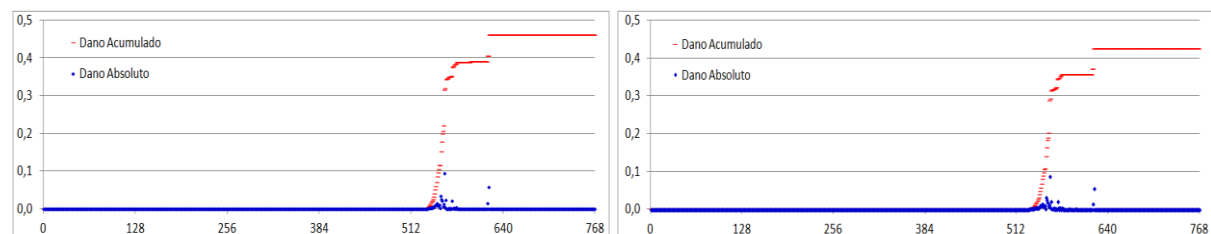


Figura 9 – Dano acumulado, para o maior dano da Figura 8

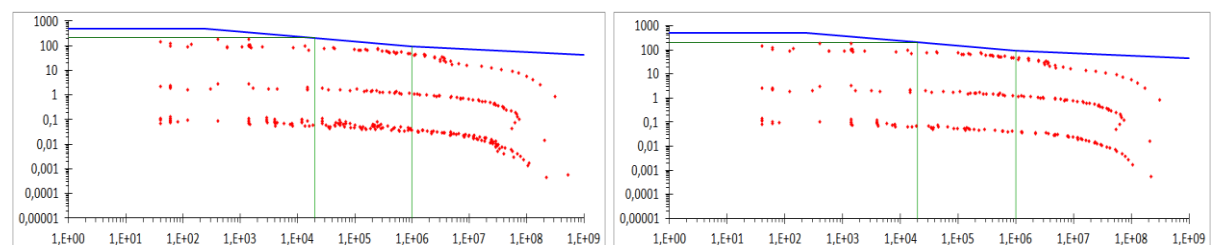


Figura 10 – Curva S-N, para o maior dano da Figura 8

As figuras dos gráficos resultantes dos danos em $A_{s,SUP}$ devidos ao M11, em $A_{s,INF}$ devido M22 e, em $A_{s,SUP}$ devidos ao M22, são similares aos mostrados nas figuras 8, 9 e 10, acima. Abaixo, as Figuras 11, 12 e 13 são similares, só que são referentes aos danos ocorridos na



armadura transversal (A_{sw}), causados pelas variações de tensões devidas aos esforços cortantes máximos (V_{max}). Veja-se que nesse caso a porcentagem de armadura danificada com $D > 0,01$ é maior e mais bem distribuída em seu máximo, em cerca de 15 a 20% em área. Porém, o dano máximo referente ao cortante é bem inferior aos danos causados pela flexão.

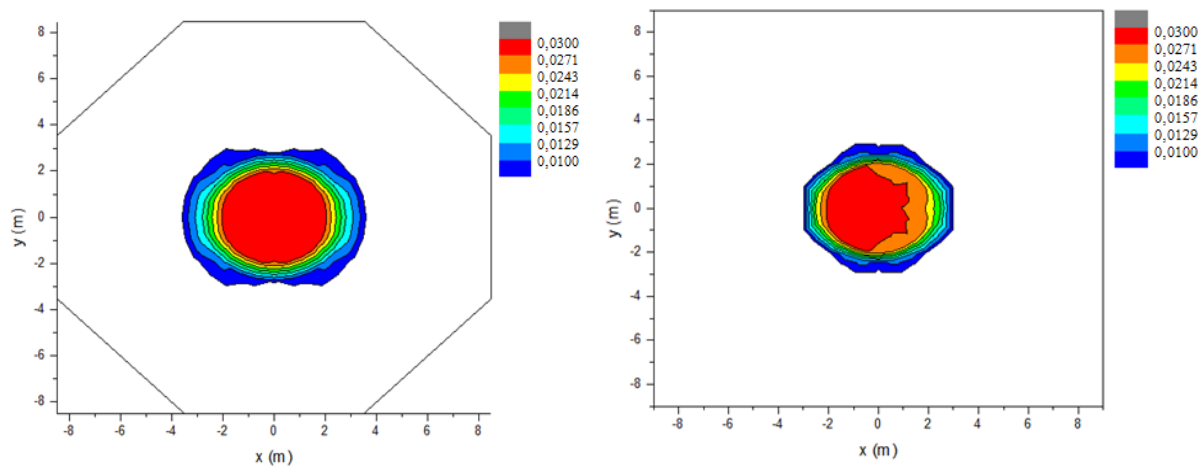


Figura 11 – Dano em A_{sw} devido V_{max} , (a) no Modelo 1, e (b) no Modelo II

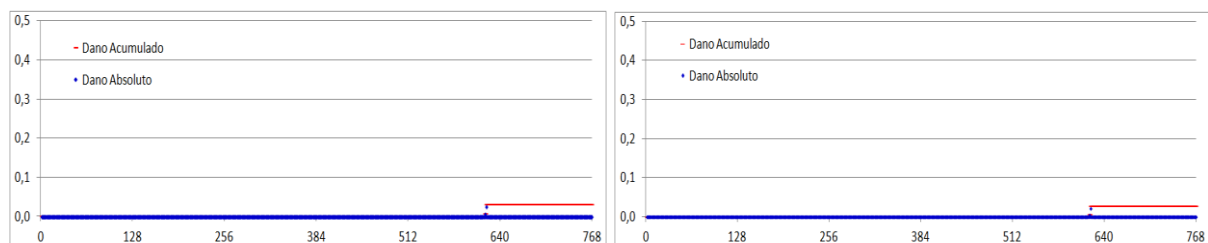


Figura 12 – Dano acumulado, para o maior dano da Figura 11

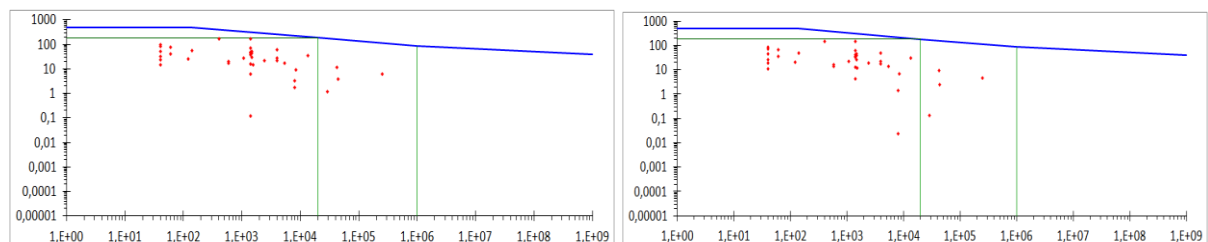


Figura 13 – Curva S-N, para o maior dano da Figura 11

Uma observação a ser feita, nas Curvas SN (Figuras 10 e 13) é referente às variações de tensões $\Delta\sigma$ com ciclos abaixo de 10^4 , dos quais a norma não trata, possivelmente por estarem na zona plástica. Porém, se as variações de tensões $\Delta\sigma$ estiverem abaixo das variações de



VII Congresso Brasileiro de Pontes e Estruturas

21, 22 e 23 de
maio de 2014
RIO DE JANEIRO

Realização:



COMEMORANDO 40 ANOS DA PONTE RIO NITEROI

tensão elástica ($\Delta\sigma$ referente à $N=10^4$ da curva SN), o acúmulo de danos deve ser considerado. Os métodos para isso adequados poderiam ser o Método ϵ -N e/ou Método de Paris, descritos em CASTRO e MEGGIOLARO (2009).

Conclusões

No projeto de fundação de aerogeradores apresentado, mostrou-se a viabilidade das soluções em fundação estacada e superficial. Constatou-se que a Regra de Palmgren-Miner é de aplicação fácil e viável. Mostra-se que não necessariamente a seção de armadura mais tensionada será a mais danificada. Há possibilidade de danos nas armaduras, com possibilidade de ruptura, mesmo quando as tensões estão abaixo da curva SN.

O acúmulo de danos devidos à flexão, se mostrou muito pontual, visto que somente em torno de 5% da área da fundação tem-se dano maior do que 0,01 e apenas 1% tem dano máximo acima de 1,00. Daí se torna pertinente a possibilidade de se considerar a redistribuição de tensões no nó rompido com $D=1,00$, visto que isto ocorre muito pontualmente.

Os Métodos ϵ -N e de Paris são bastante conhecidos por suas aplicações em Engenharia Mecânica. O Método de Paris são ali largamente utilizados em elementos metálicos (dúcteis e homogêneos), ficando então aqui colocada uma proposta para o estudo da validade desse método aplicado do aço do concreto armado. Outra investigação poderia ser imaginada para os ciclos acima de $N=10^8$, região considerada como de “vida infinita”, o que não corresponde exatamente à realidade, sendo sim esta região de baixos incrementos de danos.

Referências

- ABNT NBR6118 - Projeto de estruturas de concreto - Procedimento. 2007
- CASTRO, J.T.P.; MEGGIOLARO, M.A. Fadiga - Técnicas e práticas de dimensionamento estrutural sob cargas reais de serviço, CreateSpace, 2009.
- RIBEIRO, M.A.A.; Análise de fadiga em estrutura de fundação de torre de turbina eólica, Dissertação de Mestrado, Programa de Projeto de Estruturas, UFRJ, 2014.
- SAP2000, Structural Analysis Program v15.1.0. Computers and Structures, Inc. University Ave. Berkeley, California, 1995.
- SVENSSON, H., Design of Foundations for Wind Turbines. Master's Dissertation at Department of Construction Sciences of the Lund University, Suécia, 2010.
- WOLF, J. P., Foundation Vibration Analysis Using Simple Physical Models. Prentice Hall, 1994.